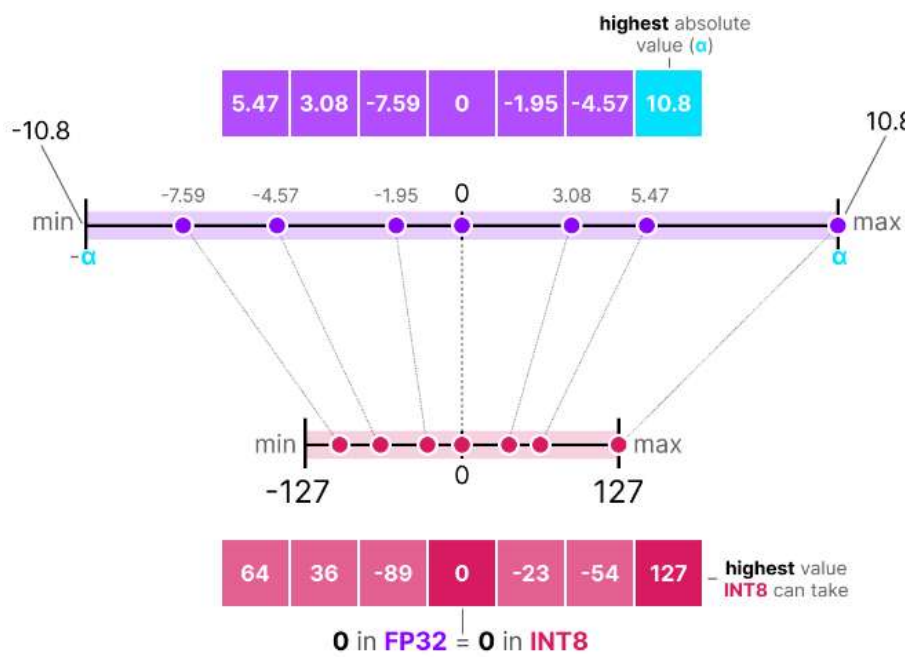


SageAttention

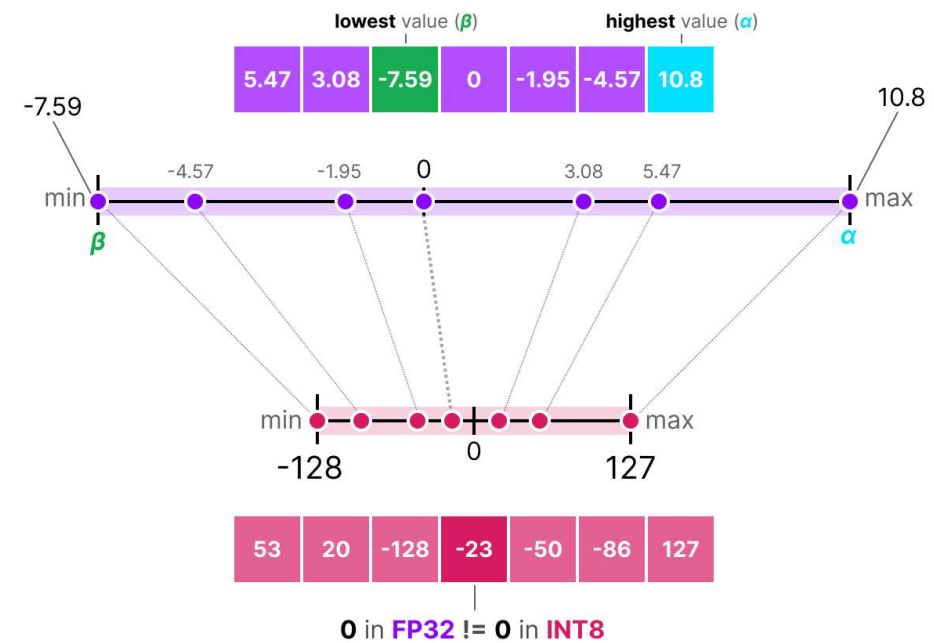
(<https://arxiv.org/pdf/2410.02367>)

Виды квантизации

Симметричная квантизация:



Асимметричная квантизация:



$$X_{INT8} = \text{round} \left(\frac{X_{FP16}}{\text{scale}^X} \right)$$

$$X_{INT8} = \text{round} \left(\frac{X_{FP16}}{\text{scale}^X} \right) + \text{offset}^X$$

Виды квантизации

Квантизация по **токенам** (per-token quantization)

$scale^X$	X_{FP16}	X_{INT8}
0.01	1.47 -0.38 -1.63	114 -30 -127
0.05	1.54 2.14 6.63	30 41 127
0.06	8.82 -8.00 5.84	127 -115 84

Формула **симметричной** квантизации (symmetric quantization)

$$X_{INT8} = \text{round}\left(\frac{X_{FP16}}{scale^X}\right) \quad scale^X = \frac{\max(|X_{FP16}|)}{127}$$

$$\hat{X}_{FP16} = X_{INT8} \cdot scale^X$$

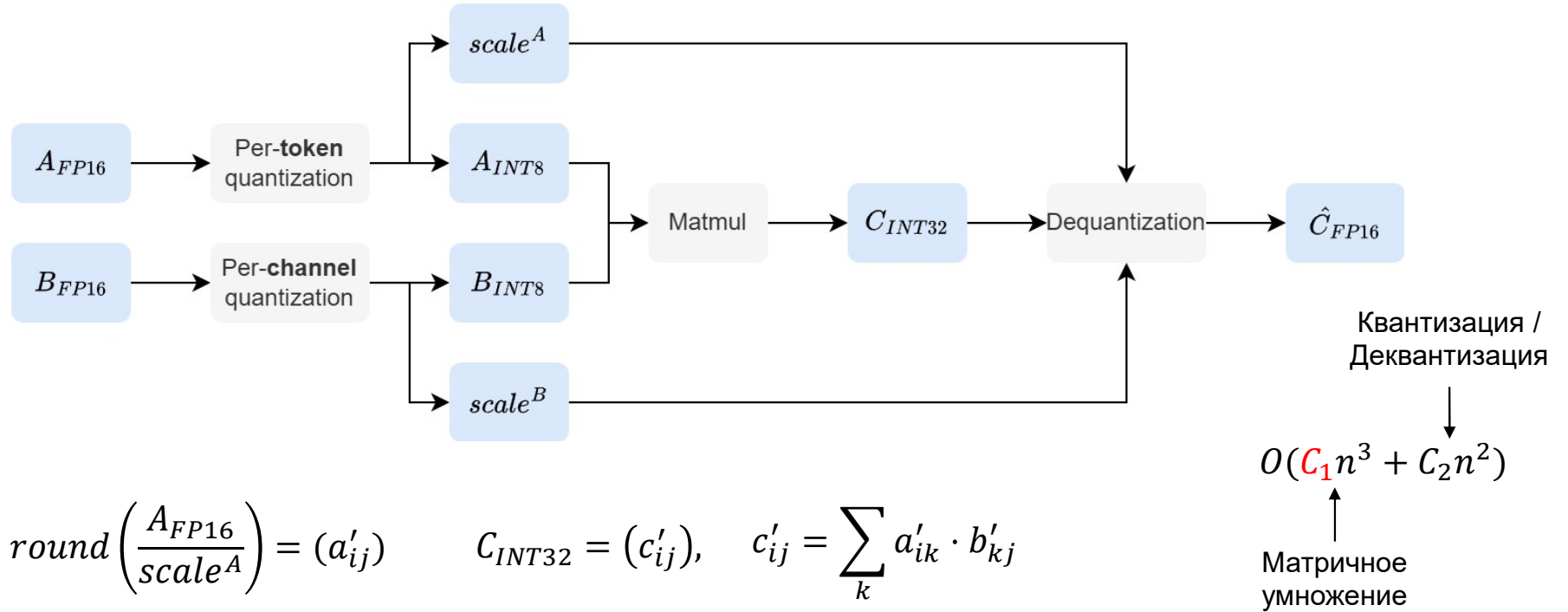
Квантизация по **каналам** (per-channel quantization)

$scale^X$	0.04 0.24 0.06	3.02 0.05 2.14	6.17 1.2 -8.00	-3.82 31.02 1.67	X_{FP16}	X_{INT8}
	62 0 34	127 5 -127	-79 127 27			
	0.05 0.07	3.02 1.54 2.14 6.63	6.17 8.82 -8.00 5.84	-3.82 -9.65 1.67 0.04		

Квантизация по **блокам** (per-block quantization)

$scale^X$	-0.28 1.47 -0.38 -1.63	3.02 1.54 2.14 6.63	-6 28 -7 -31	X_{FP16}	X_{INT8}
	3.02 1.54 2.14 6.63	6.17 8.82 -8.00 5.84	58 30 41 127		
	6.17 8.82 -8.00 5.84	-3.82 -9.65 1.67 0.04	81 116 -105 77		
	-3.82 -9.65 1.67 0.04		-50 -127 22 1		

Матричное умножение квантизованных матриц



$$A_{INT8} = \text{round}\left(\frac{A_{FP16}}{scale^A}\right) = (a'_{ij})$$

$$C_{INT32} = (c'_{ij}), \quad c'_{ij} = \sum_k a'_{ik} \cdot b'_{kj}$$

$$B_{INT8} = \text{round}\left(\frac{B_{FP16}}{scale^B}\right) = (b'_{ij})$$

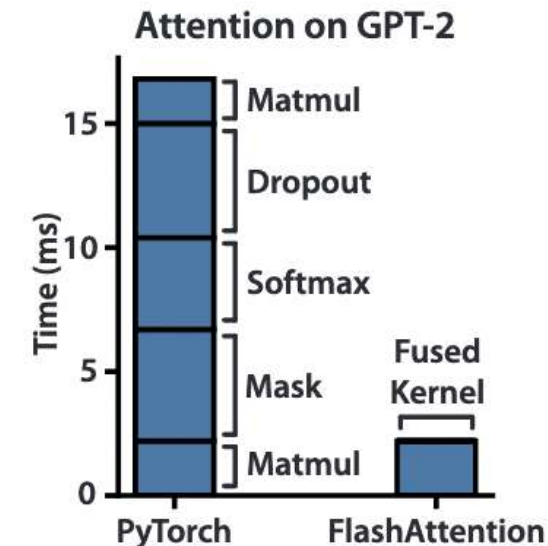
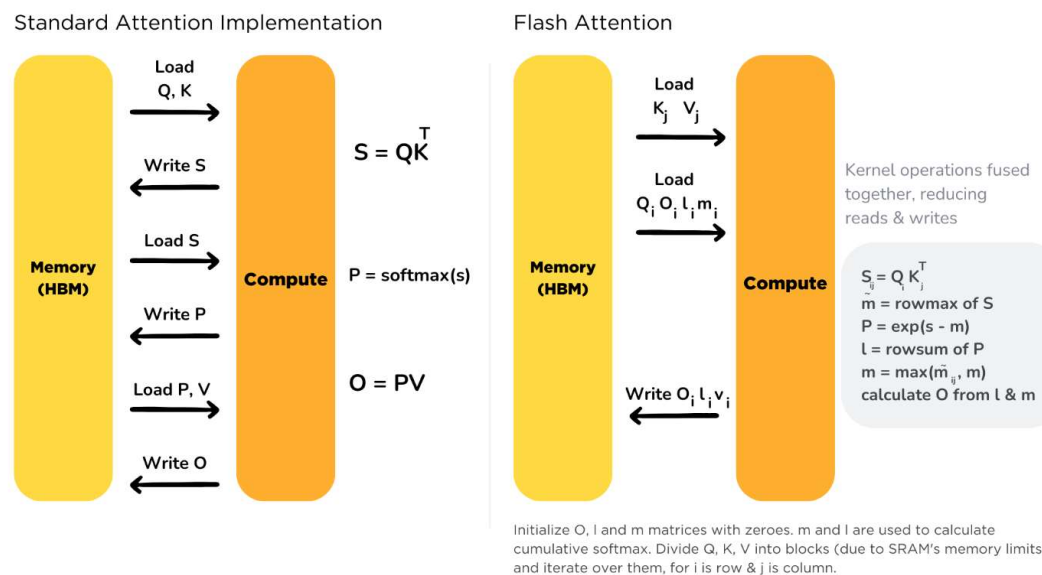
Если A_{FP16} квантизуется по токенам, а B_{FP16} – по каналам, то $\mathbf{ind}_1 = i$ и $\mathbf{ind}_2 = j$:

$$\hat{C}_{FP16} = (c_{ij}), \quad c_{ij} = \sum_k a'_{ik} \cdot scale^A_{\mathbf{ind}_1} \cdot b'_{kj} \cdot scale^B_{\mathbf{ind}_2} = \sum_k scale^A_{\mathbf{i}} \cdot scale^B_{\mathbf{j}} \cdot a'_{ik} \cdot b'_{kj} = scale^A_{\mathbf{i}} \cdot scale^B_{\mathbf{j}} \cdot c'_{ij}$$

Attention, FlashAttention

$$\text{Attention}(Q, K, V) = \text{softmax} \left(\frac{Q \cdot K^T}{\sqrt{d_k}} \right) \cdot V$$

- FlashAttention достигает ускорения за счет оптимального управления памятью и использования высокоэффективного CUDA-ядра (основанного на CUTLASS). В нем несколько стадий вычислений объединены в единую операцию, что минимизирует обращения к HBM и снижает накладные расходы.
- Идея SageAttention:** дополнительно ускорить FlashAttention посредством целочисленного низкобитного матричного умножения вместо вещественного.

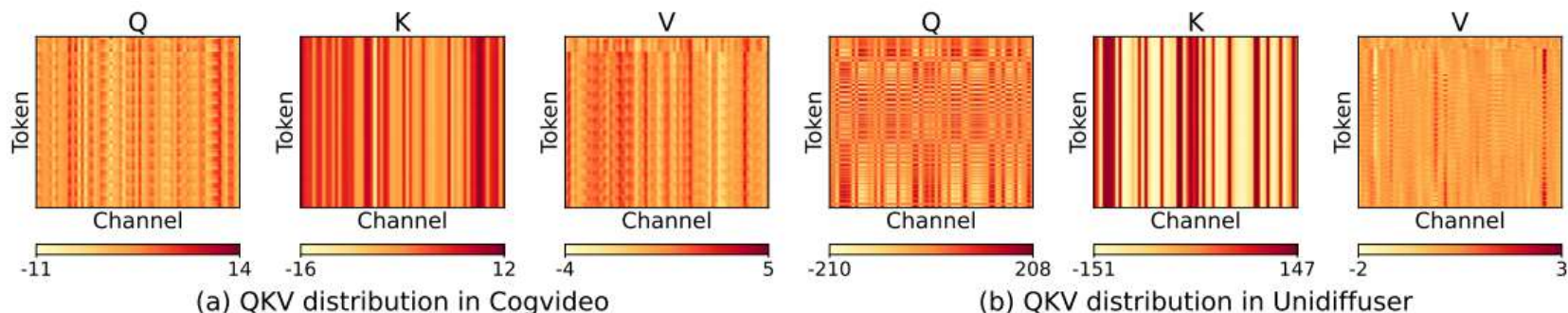


SageAttention: выбросы в K

- Проблема:** матрица K содержит большие значения (выбросы), сконцентрированные по каналам матрицы, обычная квантизация приводит почти к полному обнулению остальных элементов.
- Решение:** вычесть из матрицы K **среднее** по каждому столбцу.

$$QK^T = (p_{ij}), \quad p_{ij} = \sum_l q_{il} \cdot (k_{il} - \bar{k}_i) = \sum_l q_{il} k_{il} - \sum_l q_{il} \bar{k}_i = \sum_l q_{il} k_{il} - \textcolor{red}{C_i}$$

$$\text{softmax}([p_{i1}, p_{i2}, \dots, p_{in}]) = \frac{e^{-\textcolor{red}{C_i}} \cdot [e^{p_{i1}}, e^{p_{i2}}, \dots, e^{p_{in}}]}{e^{-\textcolor{red}{C_i}} \cdot \sum_k e^{p_{ik}}} = \text{softmax}([p_{i1}, p_{i2}, \dots, p_{in}]) - \textcolor{red}{C_i}$$



Строка матрицы K

0.05	31.02	1.2	...	0.7
------	-------	-----	-----	-----

Без вычитания **среднего**:

0	127	5	...	3
---	-----	---	-----	---

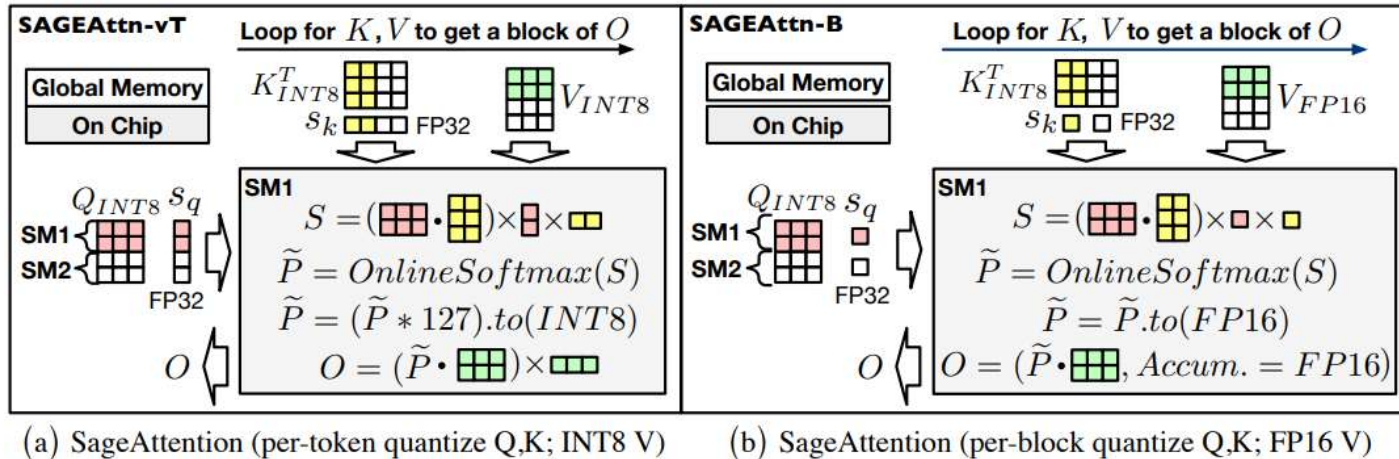
С вычитанием **среднего**:

3	127	75	...	44
---	-----	----	-----	----

SageAttention

1. Вычесть из матрицы K среднее: $K = K - \text{mean}(K)$, матрицу Q поделить на число $\sqrt{d_k}$;
2. Квантизовать матрицы Q и K по блоку токенов Q_{INT8} , $S_q = \text{per_block}(Q)$, K_{INT8} , $S_k = \text{per_block}(K)$
3. Выполнить первое (целочисленное) матричное умножение: $\hat{P}_{FP16} = (Q_{INT8} K_{INT8}^T)_{INT32} \cdot S_q \cdot S_k$;
4. Вычислить softmax: $P = \text{softmax}(\hat{P}_{FP16})$;
5. Выполнить второе (вещественное) матричное умножение: $P \cdot V$

* Второе матричное умножение также можно сделать целочисленным, однако это не приносит значительного ускорения, а качество работы значительно ухудшается.

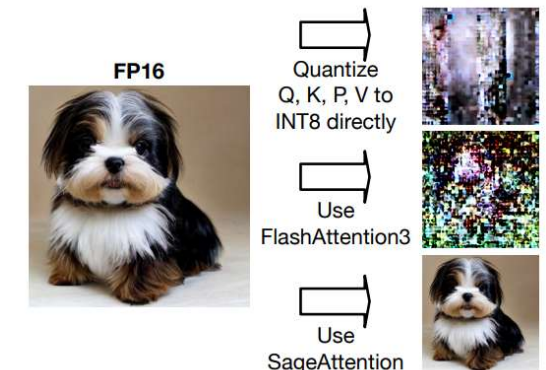


SageAttention: результаты

- SageAttention обеспечивает более чем **двукратное ускорение** по сравнению с FlashAttention;
- Ускорение сильно зависит от длины последовательности: чем длиннее контекст, тем большую часть времени занимает Attention, и тем больше выигрыш от низкобитного целочисленного матричного умножения;
- Максимальный прирост достигается в диффузионных моделях, где Attention операция занимает примерно 85-90% всего инференса. Так, модель CogVideoX работает в 1.35 раз быстрее за счет SageAttention;
- Качество моделей остается почти неизменным, благодаря коррекции выбросов;

Table 7: Real speedup of SageAttention on RTX4090.

Model	Shape of Q, K, V	Original attention	SageAttention	Speedup
CogvideoX	(2, 30, 17776, 64)	163.37 (FlashAttn2)	327.57	2.01x
Llama2	(4, 32, 1536, 128)	130.99 (FlashAttn2)	231.74	1.77x
UltraPixel	(2, 32, 7285, 64)	152.03 (FlashAttn2)	325.18	2.14x
Unidiffuser	(4, 24, 1105, 64)	105.68 (xformers)	246.93	2.34x
TIMM	(12, 64, 197, 64)	18.910 (Torch)	111.41	5.89x



SageAttention: результаты

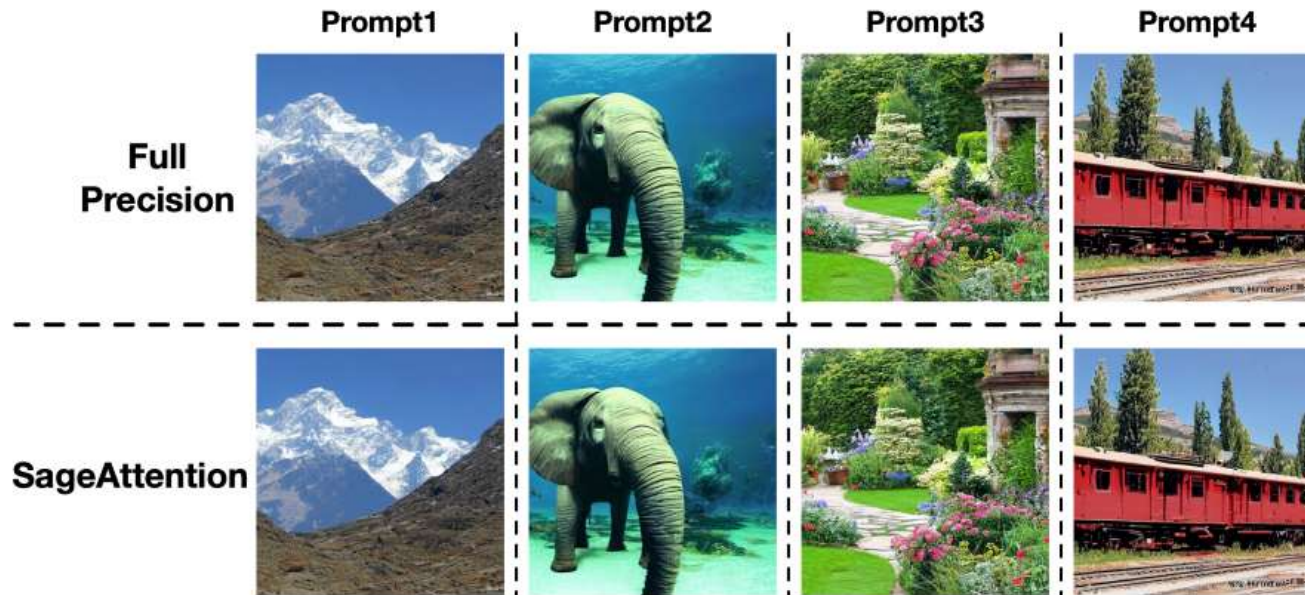


Figure 13: More image generation examples of Unidiffuser, where prompt1="Beautiful view of the Himalayas", prompt2="An elephant under the sea", prompt3="English Country Garden Design", and prompt4="An old red electric rail train in Durango, Colorado".

SageAttention: результаты

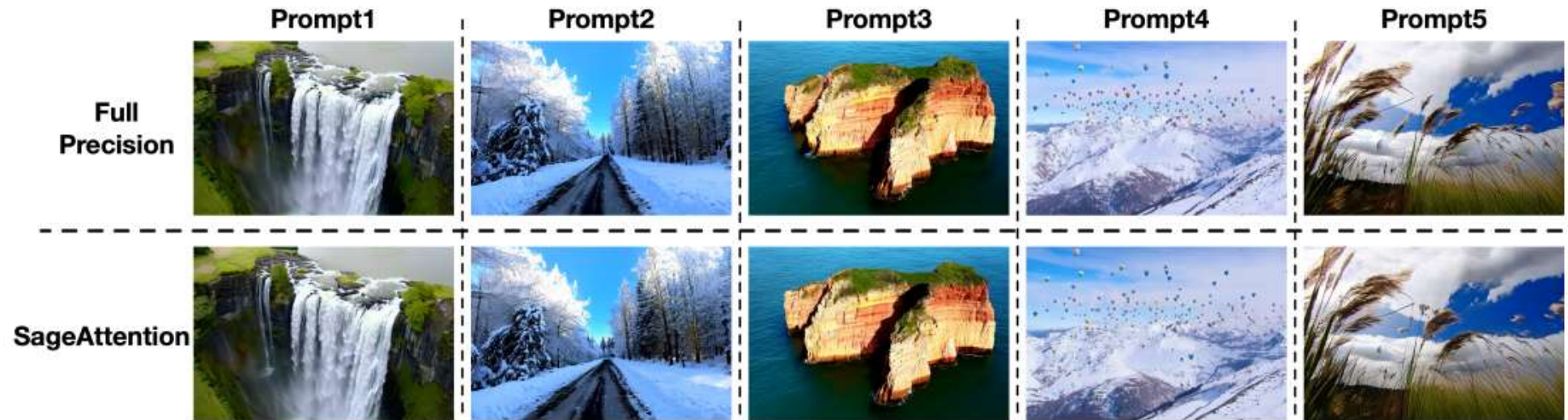


Figure 14: More image generation examples of CogvideoX. For more details about the prompts and the full videos, refer to https://anonymous.4open.science/r/image_video_examples-3E44/README.md.

Спасибо за внимание!